

(مقاله پژوهشی)

بررسی اثرات لقی مفاصل لولایی بر رفتار سینماتیکی ربات موازی صفحه‌ای 3RPR*سید مجتبی واردی کولایی^(۱) مهدی بامداد^(۲) برزو فتحی^(۳)

چکیده برای ایجاد حرکت نسبی بین عضوهای متصل به هم در یک مکانیزم، وجود لقی در مفاصل امری اجتناب‌ناپذیر است. علاوه بر ایجاد خطا در دقت موقعیت‌یابی، وجود لقی یکی از مهم‌ترین عوامل ایجاد ضربه، شوک و در نتیجه تولید ارتعاشات و صدا در هنگام کارکرد مکانیزم است. تلورانس‌ها و خطاهای ناشی از فرایند طراحی و ساخت، سائیدگی و خوردگی مفاصل بعد از یک دوره معین کاری و اثرات حرارتی به‌عنوان مهم‌ترین عوامل ایجاد و افزایش لقی شناخته شده‌اند. بدیهی است که در صورت وجود لقی در مفاصل لولایی، یک یا دو درجه آزادی غیرقابل کنترل به مکانیزم افزوده می‌شود که می‌تواند منبع ایجاد خطا باشد. در این مقاله، اثرات لقی مفاصل لولایی بر رفتار سینماتیکی ربات موازی صفحه‌ای 3RPR مورد بررسی قرار می‌گیرد. ربات موازی در نرم‌افزار تحلیل دینامیکی آدامز مدل‌سازی شده و نتایج شبیه‌سازی برای دو حالت ایده‌آل (بدون لقی) و حالت واقعی (با لقی) با هم مقایسه می‌شوند. همچنین اثرات اندازه لقی مفاصل و تأثیر آن بر رفتار ربات نیز مورد ارزیابی قرار می‌گیرد. نتایج عددی نشان می‌دهند که با افزایش اندازه لقی، مقادیر سرعت و شتاب افزایش چشم‌گیری می‌یابند.

واژه‌های کلیدی لقی مفصل؛ سینماتیک؛ تحلیل دینامیکی؛ نرم‌افزار آدامز؛ ربات موازی صفحه‌ای 3RPR.

The Effects of Revolute Joint Clearance on the Kinematic Behavior of the 3RPR Planar Parallel Manipulator

S.M. Varedi-Koulaei M. Bamdad B. Fathi

Abstract To create a relative movement between connected members in a mechanism, the presence of clearance in the joints is inevitable. In addition to raise errors in positioning accuracy, the presence of clearance is one of the most important factors in causing impact, shock, and thus the production of vibrations and sound during the operation of the mechanism. Tolerances and errors due to the process of design and construction, wear and corrosion of joints after a certain period of work and thermal effects are known as the most important sources in creating and increasing clearance. Obviously, if there is a clearance in the revolute joints, one or two degrees of uncontrollable freedom are added to the mechanism, which can be the source of the error. In this paper, the clearance effects of revolute joints on the kinematic behavior of a 3RPR parallel robot are examined. Parallel robots are modeled in the Adams Dynamic Analysis Software, and the simulation results are compared for two ideal (without clearance) and real mode (with clearance). The effects of joint clearance size and its effect on robot behavior are also evaluated. Numerical results show that by growing the size of the clearance, the values of velocity and acceleration increase dramatically.

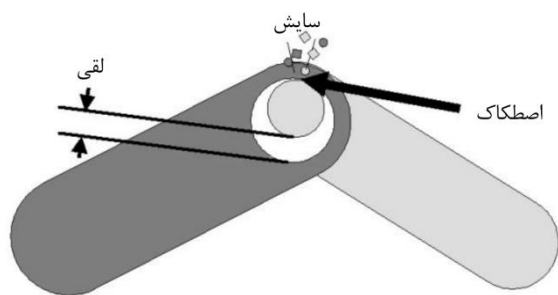
Key Words Joint Clearance, Kinematics, Dynamic Analysis, ADAMS Software, 3RPR Planar Parallel Manipulator.

* تاریخ دریافت مقاله ۹۸/۱۱/۴ و تاریخ پذیرش آن ۹۹/۲/۳ می‌باشد. DOI: 10.22067/fum-mech.v3i1l1.84217

(۱) استادیار، دانشکده مهندسی مکانیک، دانشگاه صنعتی شاهرود، شاهرود، ایران

(۲) نویسنده مسئول: استادیار، دانشکده مهندسی مکانیک، دانشگاه صنعتی شاهرود، شاهرود، ایران، bamdad@shahroodut.ac.ir

(۳) کارشناسی ارشد، دانشکده مهندسی مکانیک، دانشگاه صنعتی بابل، بابل، ایران



شکل ۱: وجود لقی و اثرات آن در مفصل

در سال‌های اخیر، محققان در تلاش بوده‌اند تا به شناخت کاملی از رفتار مکانیزم با توجه به وجود لقی در مفاصل لولایی دست یابند. در واقع تأثیر وجود لقی بر دقت مکانیزم یکی از موضوعات مهمی است که اخیراً مورد توجه بسیاری قرار گرفته است.

در ابتدا کلهاتکار و یانیک [1] در سال ۱۹۷۰ اثر پرش در مفصل را در تولید تابع مکانیزم بررسی نموده و بیشترین مقدار انحراف خروجی به علت لقی را محاسبه کردند. سپس، دابوسکی و فردونشیتاین [2,3] پیش‌بینی پاسخ دینامیکی مکانیزم دارای مفصل لقی را بررسی کردند. اریس و وو [4] مدلی را با فرض تماس دائم برای لقی ارائه کردند. در این مدل، با فرض اینکه دو عضو به‌طور دائم با هم در تماس‌اند، لقی به‌وسیله یک عضو مجازی بدون جرم جایگزین می‌شود. این کارهای آغازین در مورد لقی با چندین مورد دیگر ادامه یافت تا اینکه در سال ۱۹۹۰، لنگرانی و نیک‌روش [5] مدل جدید و ماندگاری را بر اساس تئوری هرتز [6]، برای نیروی تماسی در محل مفصل لقی ارائه کردند. در این مدل ارزشمند، برای در نظر گرفتن اتلاف انرژی در حین برخورد، جمله میرایی (Damping term) به رابطه هرترز افزوده شده است. این مدل تا به امروز مورد توجه و مورد استفاده بسیاری از محققان دیگر قرار گرفته است. فلورز و همکارانش در کارهای خود از این مدل برای بررسی سینماتیک و دینامیک مکانیزم لنگ-لغزنده بهره برده‌اند [7,8] و اثر روغن‌کاری در مفصل لقی و تأثیر آن بر دینامیک مکانیزم را نیز بررسی نمودند [9]. چواب و همکارانش [10] مقایسه‌ای میان

مقدمه

یکی از مزایا و انتظارات استفاده از یک مکانیزم موازی، دقت در عملکرد آن است. در نتیجه، فرآیندهای ساخت اعضای مکانیزم همانند لینک‌ها و یا از آن مهم‌تر، مفاصل که دارای اجزای پیچیده‌تری هستند، باید با دقت زیاد و استفاده از تکنیک‌های مدرن صورت پذیرد. اگرچه در این زمینه، تکنولوژی پیشرفت قابل ملاحظه‌ای داشته است و روش‌های ساخت با دقت زیادی ارائه شده‌اند، ولی با این حال وجود تلورانس‌هایی بین اجزای متصل به هم اجتناب‌ناپذیر است. در واقع، برای ایجاد حرکت نسبی بین عضوهای متصل به هم، وجود لقی در مفاصل یک مکانیزم ضروری است. در نتیجه وجود این فواصل بسیار اندک بین اجزای یک مکانیزم و یا یک ربات، تأثیرات قابل ملاحظه‌ای در موقعیت نقطه کارکرد آن حاصل می‌گردد که با انتظار طراح از دقت زیاد مغایرت دارد. علاوه بر ایجاد خطا در دقت موقعیت‌یابی، وجود لقی یکی از مهم‌ترین عوامل ایجاد ضربه، شوک و در نتیجه تولید ارتعاشات و صدا در هنگام کارکرد مکانیزم است. تلورانس‌ها و خطاهای ناشی از فرایند طراحی و ساخت، سائیدگی و خوردگی مفاصل بعد از یک دوره معین کاری و اثرات حرارتی به‌عنوان مهم‌ترین عوامل ایجاد و افزایش لقی شناخته شده است. همچنین، لقی بین دو بخش در حال اتصال در مفصل صلب، سبب پس‌زنی می‌شود. همچنین در همه مفاصل فوق، یک حرکت نسبی بین دو جسم وجود دارد که موجب اصطکاک، سایش و در نتیجه افزایش لقی می‌شود (شکل ۱). بدیهی است که در صورت وجود لقی در یک مفصل لولایی، دو درجه آزادی غیرقابل کنترل به مکانیزم افزوده می‌شود که می‌تواند منبع ایجاد خطا در رفتار دینامیکی آن باشد.

بالتر انگشت شمار است. از جمله این کارها، می توان به فلورز و همکارانش [17] اشاره کرد که لقی مفصل لولایی را در یک مکانیزم فضایی بررسی کردند و یا تیان و همکارانش [18] که لقی یک مفصل استوانه‌ای را مورد بحث قرار دادند. همچنین فرج تبار و همکارانش [19] و واردی و همکارانش [20] نیز بر روی مکانیزم صفحه‌ای 3RRR دارای مفاصل لق، کارهای متفاوت تحلیلی و طراحی انجام دادند.

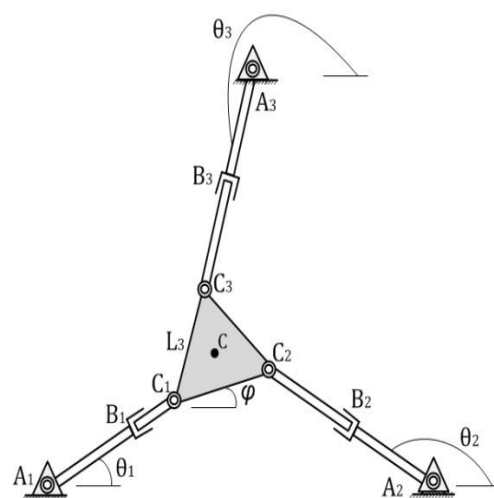
مقایسه ربات‌های سری و موازی نشان می‌دهد که یکی از مزایای زنجیره‌های موازی دقت موقعیت‌یابی است؛ بنابراین بررسی عوامل کاهش دقت در این ربات‌ها امری ضروری است. یکی از این ربات‌های موازی پرکاربرد در صنعت، ربات موازی 3RPR است که در این مقاله مورد توجه قرار گرفته است. این ربات سبک با توجه به ساختار میله بندی موازی آن در کاربردهای سریع و یا حتی بسیار سریع می‌تواند به خوبی به کار گرفته شود. پایداری ربات‌های موازی حتی زمانی که به نظر اجزای ساختار آن از صلبیت برخوردار نباشند توسط محققان بررسی و تحسین شده است [21]. پایداری بالا و دقت قابل قبول ایجاد شده به دلیل سفتی بالای ساختار متحرک ربات در کنار مزیت سرعت، آن را گزینه ایده‌آلی برای کاربردهایی نظیر فرایندهای مونتاژ و دمونتاز، گذاشت و برداشت می‌کند. در این مقاله، به بررسی اثرات لقی مفاصل لولایی در رفتار دینامیکی ربات موازی صفحه‌ای 3RPR پرداخته می‌شود. تحلیل‌های متنوع سرعت، شتاب در راستای ارتقای کیفیت عملکرد ربات با نگاه خاص به کاربرد صنعتی اشاره شده صورت می‌گیرد. در انتها، از آنجاکه وجود لقی در مفاصل باعث ایجاد تغییرات با فرکانس بالا در حرکت اعضا می‌شود، تحلیل فرکانسی صورت می‌گیرد. این تحلیل که با استفاده از سیگنال شتاب مجری نهایی حاصل می‌شود نمایشگر رفتار یک مکانیزم در حضور لقی است.

مدل‌های مختلف به عمل آوردند. آن‌ها یک مکانیزم لنگ- لغزنده را در دو حالت با و بدون روغن کاری مفصل در نظر گرفتند و دریافتند که در حالت مدل روغن کاری هیدرودینامیک برای مفصل، مقادیر ماکزیمم نیروهای ضربه‌ای در مفصل کاهش می‌یابند. تیان و همکارانش [11] نیز دینامیک مکانیزم‌های فضایی و لقی مفصل کروی را در دو حالت تماس با روغن کاری و تماس خشک مورد بررسی قرار دادند. برای تماس خشک، آن‌ها نیروی تماسی را بر اساس قانون تماس هرتز و با افزودن جمله میرایی به سبب اتلاف انرژی به دست آوردند. نیروی اصطکاکی در محل مفصل نیز بر اساس رابطه اصطکاک کولومب (Coulomb's friction) به دست آمده است. درحالی‌که در حالت روغن کاری مفصل، نیروهای مفصل را با استفاده از معادله رینولدز (Reynolds' equation) به دست آوردند. اولیایی و قضاوی [12] نیز به تحلیل مکانیزم لنگ- لغزنده دارای یک مفصل لق پرداختند و سپس با استفاده از یک روش کنترلی، ضربات موجود در محل مفصل لق را کاهش دادند. ارکایا و اوزمای [13] هم با استفاده از مدل لنکرانی- نیک‌روش به تحلیل مکانیزم لنگ- لغزنده دارای دو مفصل پرداختند و اثرات آن را با نتایج آزمایشگاهی مقایسه نمودند. ارکایا همچنین در پژوهش دیگری به بررسی مشخصه‌های ارتعاشی مکانیزم دارای مفصل لق پرداخت [14]. واردی و همکارانش [15,16] نیز با تحلیل مکانیزم لنگ- لغزنده دارای مفاصل لق، به بهینه‌سازی سینماتیکی و دینامیکی آن جهت کاهش اثرات نامطلوب لقی پرداختند.

اما نکته قابل توجهی که در کارهای ذکر شده فوق وجود دارد این است که تقریباً در همه آن‌ها، مؤلفین لقی مفاصل را در مکانیزم‌های صفحه‌ای و یک درجه آزادی لنگ- لغزنده و چهارمیله‌ای مورد بررسی قرار داده‌اند و کارهای انجام شده بر روی مکانیزم‌های فضایی و یا مکانیزم‌های صفحه‌ای با درجه آزادی

ربات موازی صفحه‌ای 3RPR

شکل (۲) ربات موازی صفحه‌ای 3RPR را که با احتساب زمین دارای هشت عضو است، نشان می‌دهد. این مکانیزم دارای یک صفحه کاری است که با استفاده از سه ساق به زمین متصل شده است. صفحه کاری یک مثلث متساوی‌الاضلاع به طول L_3 است که نقطه وسط آن (C) به‌عنوان نقطه موردنظر برای تولید مسیر در نظر گرفته می‌شود. هرکدام از ساق‌ها نیز دارای دو عضو می‌باشند که به‌وسیله مفاصل کشویی به هم مرتبط‌اند. سه ساق‌ها ربات از دو انتها با استفاده از مفاصل لولایی به صفحه ثابت (زمین) و صفحه کاری متصل شده‌اند. ربات موردبحث با وجود هشت عضو صلب و نه مفصل (لولایی و کشویی)، دارای ۳ درجه آزادی است. بنابراین، با توجه به تعداد درجات آزادی مکانیزم، سه محرک در مفاصل کشویی (مفاصل A_1 ، A_2 و A_3) قرار داده شده است. به‌غیر از مفاصل محرک، بقیه مفاصل که شامل همه مفاصل لولایی است دارای لقی هستند [22]. به ازای هر مفصل لولایی لقی، دو درجه آزادی به سیستم اضافه می‌شود و همین امر روند انجام تحلیل‌های سینماتیکی و دینامیکی را پیچیده‌تر از حالت ایده‌آل (بدون لقی) می‌کند.



شکل (۲): ربات موازی صفحه‌ای 3RPR دارای شش مفصل لقی

با استفاده از مختصات نقاط C_i ($i = 1,2,3$) و A_i ($i = 1,2,3$) در هر ساق، می‌توان اندازه فواصل $A_i C_i$ ($i = 1,2,3$) و در نتیجه میزان جابه‌جایی‌های مفاصل کشویی (سیلندر-پیستون‌ها) را به دست آورد:

$$(x_{C_i} - x_{A_i})^2 + (y_{C_i} - y_{A_i})^2 = (\overline{A_i C_i})^2 \quad (1) \\ i = 1,2,3$$

که مختصات نقاط C_i ($i = 1,2,3$) را می‌توان بر اساس مختصات نقطه C مجری نهایی نوشت. در نتیجه با اطلاع از x_C و y_C خواهیم داشت:

$$x_{C_1} = x_C + (\overline{CC_1}) \cos\left(\varphi + \frac{7\pi}{6}\right) \quad (2) \\ y_{C_1} = y_C + (\overline{CC_1}) \sin\left(\varphi + \frac{7\pi}{6}\right)$$

$$x_{C_2} = x_C + (\overline{CC_2}) \cos\left(\varphi + \frac{11\pi}{6}\right) \quad (3) \\ y_{C_2} = y_C + (\overline{CC_2}) \sin\left(\varphi + \frac{11\pi}{6}\right)$$

$$x_{C_3} = x_C + (\overline{CC_3}) \cos\left(\varphi + \frac{15\pi}{6}\right) \quad (4) \\ y_{C_3} = y_C + (\overline{CC_3}) \sin\left(\varphi + \frac{15\pi}{6}\right)$$

همچنین فاصله $\overline{CC_i}$ را نیز می‌توان بر اساس طول ضلع مثلث و به‌صورت $L_3/\sqrt{3}$ محاسبه نمود.

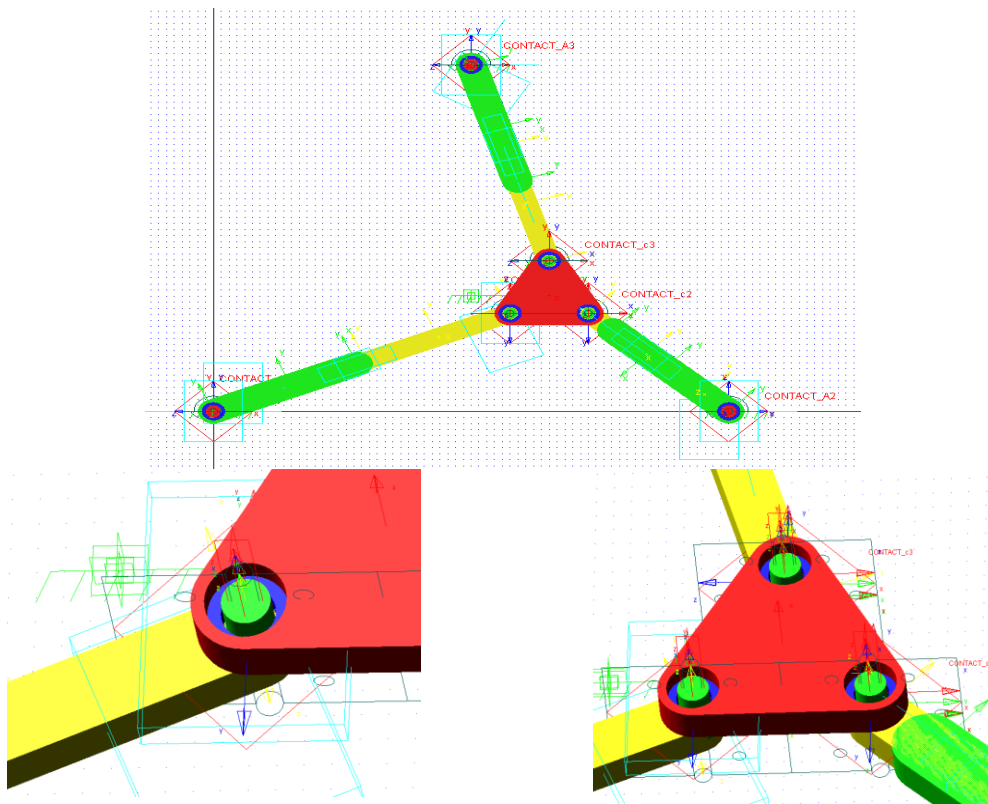
معادله (۱) می‌تواند به‌عنوان معادلات سینماتیکی مستقیم و معکوس این ربات مورد استفاده قرار گیرد. مسئله سینماتیکی معکوس، شامل محاسبه مقادیر جابه‌جایی مفاصل کشویی و یا فواصل $A_i C_i$ ($i = 1,2,3$) بر اساس اطلاع از موقعیت و جهت‌گیری مجری نهایی (x_C, y_C, φ) است. در واقع با مشخص بودن موقعیت و جهت‌گیری مجری نهایی (x_C, y_C, φ) و با استفاده از معادلات (۱-۳) می‌توان موقعیت‌های x_{C_i} و y_{C_i} را برای هر سه ساق محاسبه نمود. در نتیجه، از آنجاکه موقعیت سه تکیه‌گاه A_i نیز از هندسه ربات مشخص است، می‌توان با استفاده از معادله (۱)، طول هر یک از ساق‌ها و یا به عبارتی طول مفاصل کشویی

در این مقاله، همه مفاصل لولایی ربات 3RPR، لقی در نظر گرفته می‌شوند که در این صورت پیچیدگی روابط سینماتیکی و دینامیکی ربات بسیار افزایش می‌یابد. در نتیجه در اینجا برای بررسی اثرات لقی مفاصل لولایی از نرم‌افزار تحلیل دینامیکی آدامز استفاده می‌شود. محققان از نرم‌افزار آدامز در شبیه‌سازی و تحلیل ربات‌های موازی استفاده کرده‌اند [27-29]. نتایج بیانگر کیفیت بالا و قابل‌اعتماد بودن نرم‌افزار مذکور در تحلیل دینامیکی این ربات‌ها است.

مدل‌سازی ربات 3RPR در نرم‌افزار آدامز

شکل (۳) مدل‌سازی ربات صفحه‌ای 3RPR را در نرم‌افزار آدامز از نماهای مختلف نشان می‌دهد. مطابق شکل همه مفاصل لولایی به صورت لقی مدل شده‌اند و عضوها صلب در نظر گرفته می‌شوند. حداکثر لقی مفاصل به اندازه 1 mm در نظر گرفته می‌شود.

ربات را در هر لحظه به دست آورد. این روابط نشان می‌دهد حل سینماتیک معکوس این ربات موازی به راحتی قابل دستیابی است. حل سینماتیک مستقیم این ربات، که شامل استخراج موقعیت و جهت‌گیری مجری نهایی (x_C, y_C, φ) بر اساس اطلاع از مقادیر جابه‌جایی مفاصل کشویی است، با دشواری‌هایی همراه است. زیرا معادله (۱) برای سه ساق به یک دستگاه معادلات غیرخطی سه معادله و سه مجهول تبدیل می‌شود که برای حل آن باید از ترکیبی از روش‌های تحلیلی و عددی استفاده نمود. روش‌هایی نظیر نیوتون-رافسون (Newton-Raphson Method)، هوموتوپی کانتینوایشن (Homotopy Continuation Method)، روش عدد بزوت (Bezout number)، برنامه‌ریزی خطی تکراری و یا ترکیبی از این روش‌ها می‌تواند برای حل معادلات سینماتیک مستقیم ربات‌های موازی مورد استفاده قرار گیرد [23-26].



شکل «۳»: مدل‌سازی ربات 3RPR دارای مفاصل لقی در آدامز

جمله‌اند. البته مطابق شکل (۵)، کاربر نیز می‌تواند هر مدل دیگری را مورد استفاده قرار دهد. در این مقاله از روش تماسی بر اساس تابع ضربه (IMPACT-Function-Based Contact) استفاده می‌شود.

رابطه نیروی نرمال در نقطه تماس شامل دو مؤلفه است. در این رابطه علاوه بر اثر کشسانی (الاستیک)، اثر میرایی (دمپینگ) نیز وارد معادله شده است. نیروی کشسانی بر پایه قانون هرتز تابعی از میزان فرورفتگی سطوح ($\delta = -g$) بوده و نیروی میرایی نیز تابعی از سرعت فرورفتگی سطوح ($\dot{\delta}$) است. بنابراین رابطه نیروی نرمال در نرم‌افزار آدامز را می‌توان به صورت زیر در نظر گرفت [30]:

$$\begin{cases} F_N = K\delta^n + STEP(\delta, 0, 0, d_{max}, C_{max})\dot{\delta}, & \delta > 0 \\ 0, & \delta \leq 0 \end{cases} \quad (6)$$

که K ضریب سفتی است و مقدار آن به هندسه صفحات تماسی و خواص فیزیکی آن‌ها بستگی دارد.

$$K = \frac{4}{3\pi(h_i + h_j)} \sqrt{\frac{R_i R_j}{R_i + R_j}} \quad (7)$$

$$h_k = \frac{1 - \nu_k^2}{\pi E_k}, \quad k = i, j$$

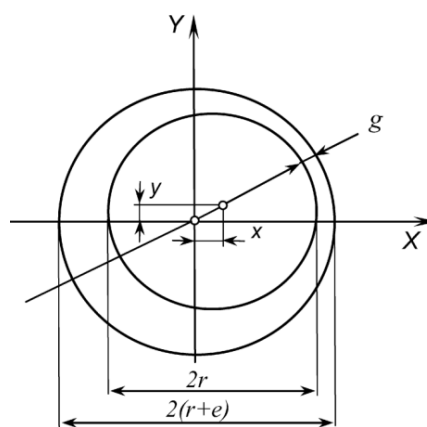
که R_i ، ν_i و E_i به ترتیب شعاع، ضریب پواسون و مدول کشسانی جسم i ام است. مقدار توان n نیز بر اساس مواد مورد استفاده در صفحات در حال تماس تعیین می‌شود (برای صفحات فلزی n برابر 1.5 است). در نرم‌افزار آدامز، ضریب دمپینگ نیز به صورت تابع پله زیر تعریف می‌شود:

$$STEP(\delta, 0, 0, d_{max}, C_{max}) = \begin{cases} 0, & \delta \leq 0 \\ C_{max} \left(\frac{\delta}{d_{max}} \right)^2 \left(3 - 2 \frac{\delta}{d_{max}} \right), & 0 < \delta < d_{max} \\ C_{max}, & \delta \geq d_{max} \end{cases} \quad (8)$$

در رابطه فوق d_{max} عددی مثبت و حقیقی است (تقریباً 0.01 mm) که فرورفتگی معینی را برای اعمال ماکزیمم مقدار ضریب دمپینگ C_{max} مشخص می‌کند.

مدل‌سازی لقی مفاصل. در مکانیزم‌های صفحه‌ای، لقی هرکدام از مفاصل لولایی دو درجه آزادی به سیستم اضافه می‌کند که می‌تواند شامل جابه‌جایی‌های افقی و عمودی مرکز پین نسبت به مرکز یاتاقان در جهات x و y باشد (شکل ۴). در حین تماس، برهم‌کنش سطوح در مفصل بر اساس نیروهای قائم و مماسی در نقطه تماس است. با توجه به شکل (۴)، اگر اختلاف شعاع سطوح به اندازه e باشد، رابطه زیر را می‌توان به عنوان فاصله بین دو سطح برحسب جابه‌جایی‌های x و y نوشت [26]:

$$g = e - \sqrt{x^2 + y^2} \quad (5)$$



شکل «۴»: مرکز لولایی صفحه‌ای دارای لقی

در معادله (۵)، اگر $g > 0$ باشد بدین معناست که تماسی بین سطوح وجود ندارد و نیروی تماسی صفر است. در حالت $g = 0$ دو سطح با هم در تماس‌اند (بدون فرورفتگی) و وقتی $g < 0$ باشد سطوح درهم‌فرورفته‌اند. مهم‌ترین نکته‌ای که در مدل‌سازی باید مورد توجه قرار گیرد نحوه مدل‌کردن مفاصل لقی و انتخاب مدل تماسی مناسب است.

مدل‌سازی تماس. در نرم‌افزار آدامز از دو روش برای تعریف تماس بین سطوح استفاده می‌شود (شکل ۵) که مدل ضربه (Impact) و مدل استرداد (Restitution) از آن

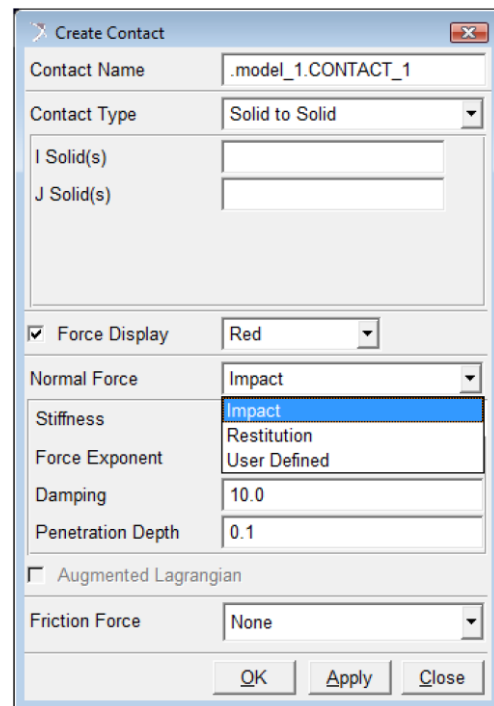
فرض می‌شود نقطه C از مثلث مجری نهایی دایره‌ای به مرکز $(0.33 \text{ m}, 0.1905 \text{ m})$ و شعاع 0.1 m را طی کند. در نتیجه می‌توان مقادیر ورودی محرک‌های کشویی را در حالت ایده‌آل (بدون لقی)، با استفاده از معادله ۱ (سینماتیک معکوس) و مشتق‌گیری از آن به دست آورد. حال با توجه به اطلاع از ورودی محرک‌ها، این مقادیر در نرم‌افزار آدامز وارد شده و دینامیک حرکت ربات مورد بررسی قرار می‌گیرد. قبل از استخراج و بررسی نتایج شبیه‌سازی باید از صحت مدل‌سازی ربات در نرم‌افزار آدامز اطمینان حاصل نمود. بدین منظور، شتاب مجری نهایی ربات بدون در نظر گرفتن لقی مفاصل از سه راه مختلف با هم مقایسه می‌شود:

۱- حل سینماتیک ربات در حالت ایده‌آل (بدون لقی) به صورت تحلیلی؛

۲- مدل‌سازی ربات بدون لقی مفاصل در نرم‌افزار آدامز؛

۳- مدل‌سازی ربات دارای مفاصل لقی در نرم‌افزار آدامز و در نظر گرفتن مقدار بسیار کوچکی برای اندازه لقی (0.0001 mm) .

شکل (۶) نمودارهای شتاب در دو راستای x و y را برای دو حالت اول (حل تحلیلی و حل با نرم‌افزار آدامز بدون در نظر گرفتن لقی مفاصل) با هم مقایسه می‌کند. همان‌طور که مشاهده می‌شود دو نمودار دقیقه بر روی هم منطبق شده‌اند و این امر نشان‌دهنده مدل‌سازی صحیح ربات در نرم‌افزار آدامز در حالت بدون لقی است. همچنین در شکل (۷) نمودارهای شتاب در حالت‌های ۲ و ۳ با هم مقایسه می‌شوند. همان‌طور که بیان شد در هر دو این حالات از حل نرم‌افزار آدامز استفاده می‌شود، با این تفاوت که در حالت ۳ ربات با در نظر گرفتن لقی مفاصل مدل‌سازی می‌شود و در شبیه‌سازی، اندازه کوچکی برای لقی در نظر گرفته می‌شود.



شکل «۵»: نحوه تعریف تماس بین سطوح در آدامز

شبیه‌سازی و نتایج

ربات موازی صفحه‌ای 3RPR شکل (۲) را با داده‌های جدول (۱) در نظر بگیرید. شعاع یاتاقان و اندازه لقی برای هر شش مفصل لولایی لقی یکسان است. به علاوه فاصله بین تکیه‌گاه‌های A_1 ، A_2 و A_3 با یکدیگر برابر 660 mm است. در واقع این سه تکیه‌گاه، مثلثی متساوی‌الاضلاع تشکیل می‌دهند که قاعده آن بر روی محور x قرار دارد.

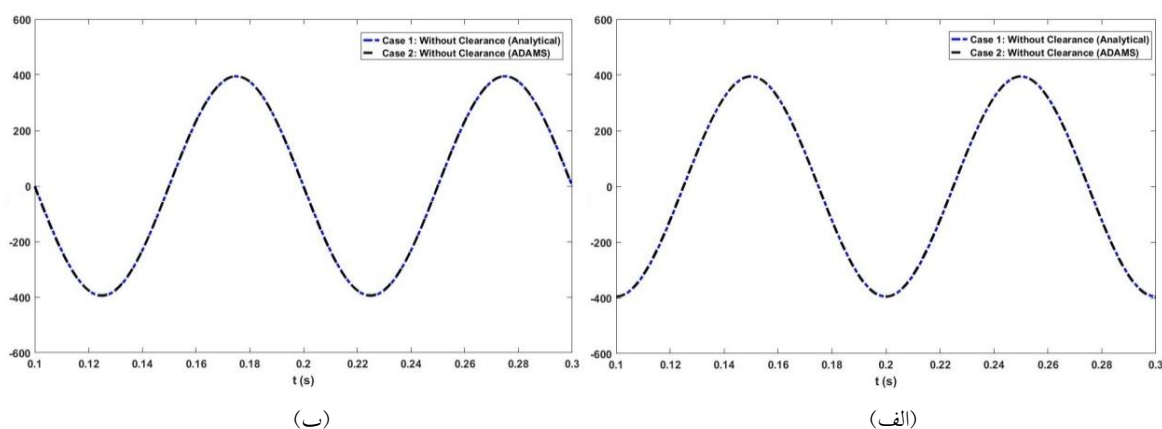
جدول «۱»: پارامترهای ربات صفحه‌ای 3RPR

جرم مجری نهایی	0.2 kg
طول ضلع مجری نهایی	100 mm
حداکثر کورس سیلندر	200 mm
طول ضلع صفحه ثابت $(A_i A_{i+1})$	660 mm
چگالی اعضا	2270 kg/m^3
مدول الاستیک اعضا	73 GPa
ضریب پواسون اعضا	0.3

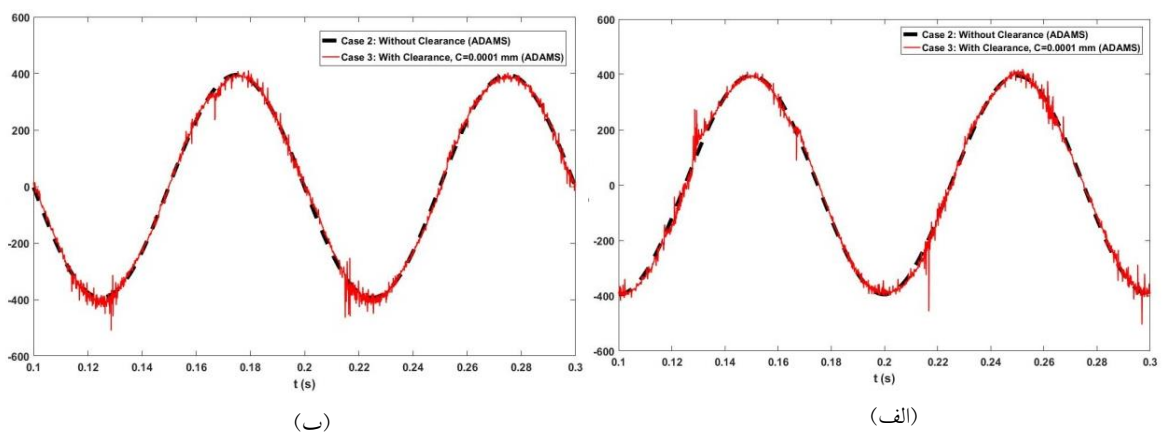
می‌پردازد ($Cl=1\text{mm}, 0.5\text{ mm}, 0.00001\text{mm}$). با توجه به این نمودارها، می‌توان دریافت که با افزایش اندازه لقی مفصل، میزان خطا نسبت به حالت بدون لقی افزایش می‌یابد. همچنین موقعیت زاویه‌ای مجری نهایی در شکل (۸) به شکل واضح‌تری تأثیر لقی را نمایش می‌دهد. تغییرات دوران در ربات موازی مذکور می‌تواند به راحتی عملکرد ربات را زیر سؤال ببرد. بنابراین اگر از مکانیزم مورد نظر برای تولید مسیر با دقت بالا استفاده می‌شود باید به اثرات لقی در ایجاد خطا توجه ویژه‌ای داشت.

مشاهده شکل (۷) نیز نشان می‌دهد که نمودارها بسیار به هم نزدیک هستند. نیروهای ضربه‌ای در مفاصل، مطابق انتظار انحرافی را به صورت سیگنالی از خطا در نمودارها ایجاد می‌کنند که ناشی از لقی 0.0001 میلی‌متری در مفاصل است. بنابراین می‌توان بر درستی مدل‌سازی نرم‌افزاری و کارکرد مناسب آن صحت گذاشت. حال و پس از اطمینان از صحت مدل‌سازی ربات در نرم‌افزار آدامز، می‌توان اعتماد بیشتری به نتایج حاصله داشت.

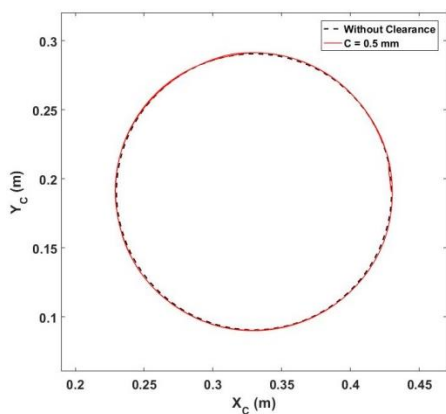
شکل (۸) به بررسی موقعیت مکانی مرکز جرم مجری نهایی (نقطه C) در سه مقدار لقی مختلف



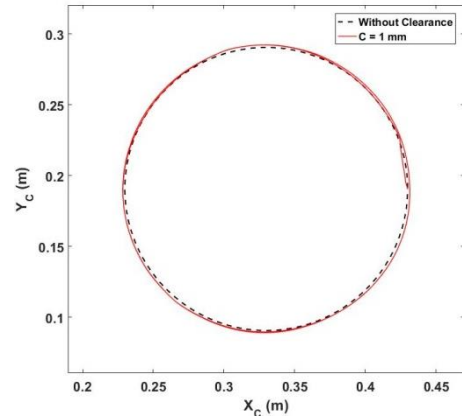
شکل (۶): مقایسه شتاب خطی مرکز جرم مجری نهایی در حالت ۱ و ۲: (الف) شتاب راستای محور X (ب) شتاب راستای محور Y



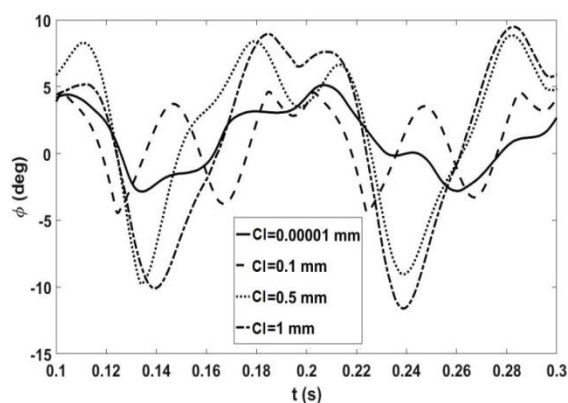
شکل (۷): مقایسه شتاب خطی مرکز جرم مجری نهایی در حالت ۲ و ۳: (الف) شتاب راستای محور X (ب) شتاب راستای محور Y



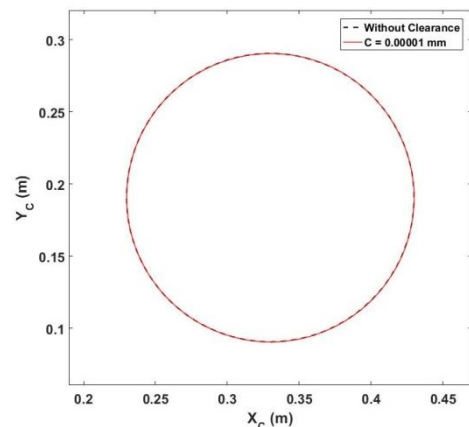
(ب)



(الف)



(د)



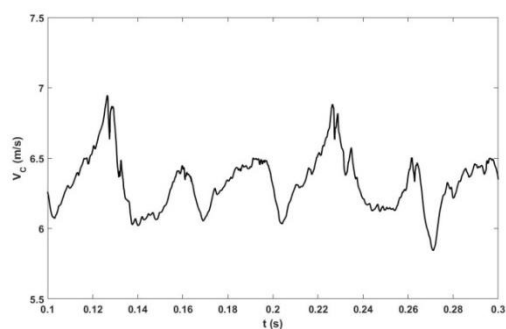
(ج)

شکل ۸: مقایسه جابه‌جایی مرکز جرم و دوران مجری نهایی در لقی‌های مختلف: (الف) جابه‌جایی مرکز جرم در $Cl=1\text{ mm}$ (ب) جابه‌جایی مرکز جرم در $Cl=0.5\text{ mm}$ (ج) جابه‌جایی مرکز جرم در $Cl=0.00001\text{ mm}$ (د) تغییرات دوران مجری نهایی در لقی‌های مختلف

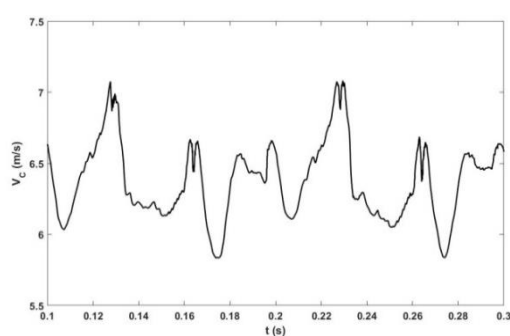
این امر همچنین، افزایش ارتعاشات، ایجاد سروصدا و خوردگی یاتاقان‌ها را در پی خواهد داشت. در شکل‌های (۱۱-۱۳) نمودارهای شتاب خطی مجری نهایی در دو راستای x و y برای لقی‌های مختلف با هم مقایسه شده‌اند. همان‌طور که مشاهده می‌شود با افزایش اندازه لقی مفاصل، مقادیر بیشینه شتاب مرکز جرم مجری نهایی افزایش چشم‌گیری پیدا می‌کند. این اثر در شکل (۱۳) و در مقایسه شتاب‌های زاویه‌ای نیز دیده می‌شود. در نتیجه، در حالت وجود لقی در مفاصل، باید به تغییرات شتاب اعضا توجه بیشتری نمود تا بتوان از اثرات مخرب آن پیشگیری نمود.

در شکل‌های (۹ و ۱۰) به بررسی تغییرات سرعت‌های خطی و زاویه‌ای در لقی‌های مختلف در بازه زمانی 0.2 s حرکت پرداخته شده است. در این دو شکل نیز می‌توان مشاهده نمود که سرعت‌ها با افزایش اندازه لقی مفاصل، نسبت به حالت ایده‌آل (بدون لقی) اختلاف بیشتری نشان می‌دهند. پروفیل سرعت هموار مکانیزم بدون لقی در لقی یک میلی‌متر تا حدود 1 m/s انحراف نشان می‌دهد.

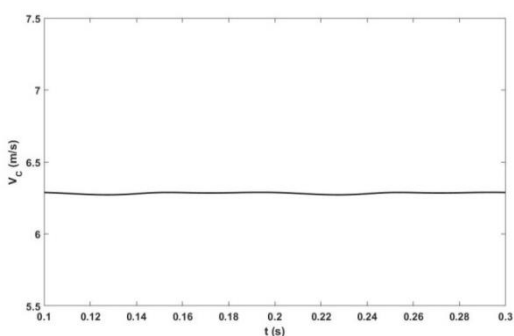
در شکل‌های (۱۱-۱۳) نیز مقادیر شتاب‌های خطی و زاویه‌ای مجری نهایی مورد ارزیابی قرار می‌گیرند. بدیهی است تغییرات ناگهانی و با دامنه بالای شتاب می‌تواند موجب افزایش نیرو و ضربه در مکانیزم شود.



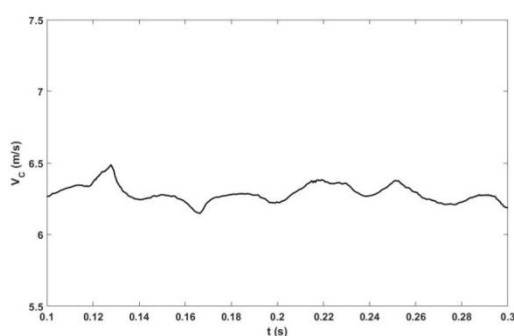
(ب)



(الف)

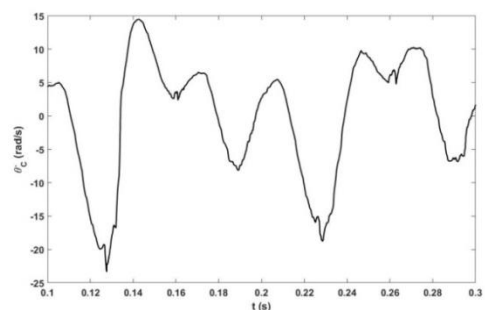


(د)

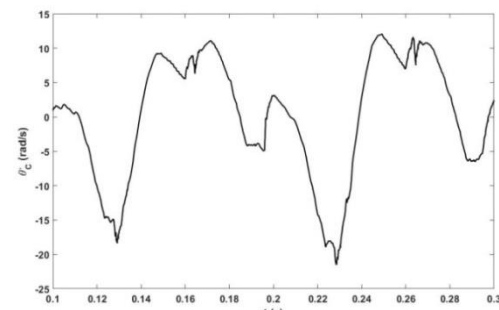


(ج)

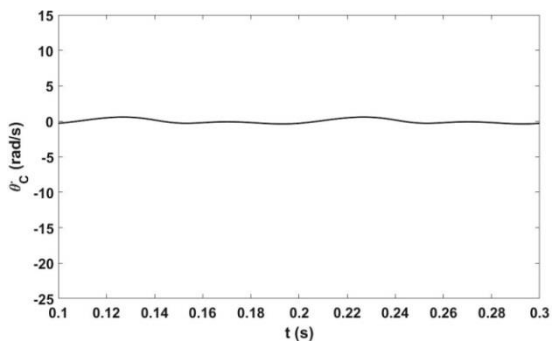
شکل «۹»: مقایسه اندازه سرعت خطی مرکز جرم مجری نهایی در لقی‌های مختلف: (الف) $CI=1\text{ mm}$ (ب) $CI=0.5\text{ mm}$ (ج) $CI=0.00001\text{ mm}$ (د) حالت ایده‌آل



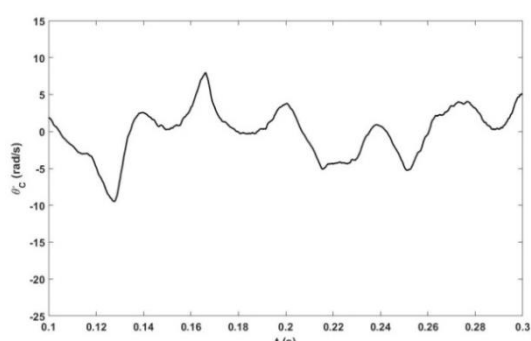
(ب)



(الف)

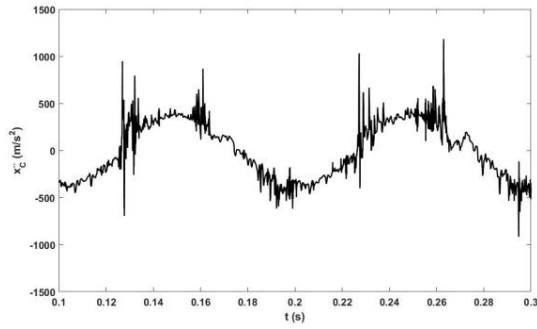


(د)

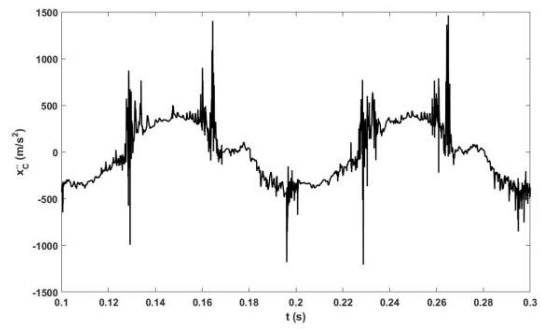


(ج)

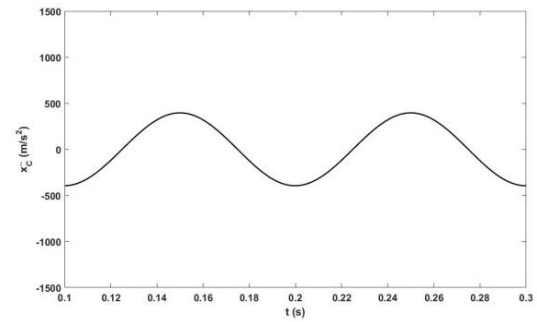
شکل «۱۰»: مقایسه سرعت زاویه‌ای مجری نهایی در لقی‌های مختلف: (الف) $CI=1\text{ mm}$ (ب) $CI=0.5\text{ mm}$ (ج) $CI=0.00001\text{ mm}$ (د) حالت ایده‌آل



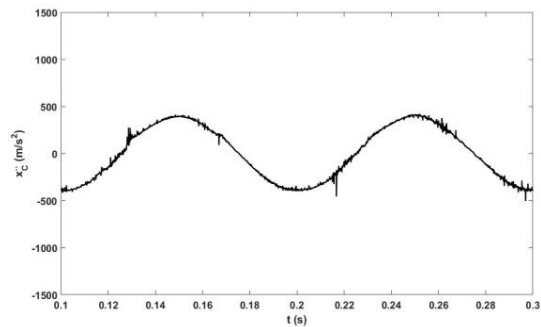
(ب)



(الف)

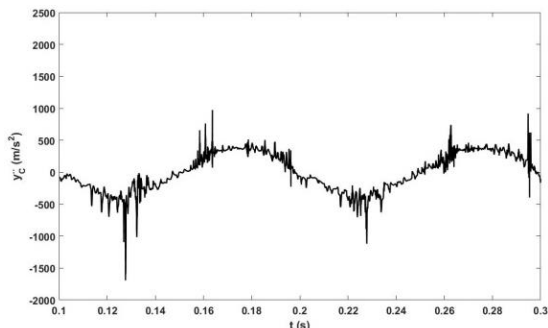


(د)

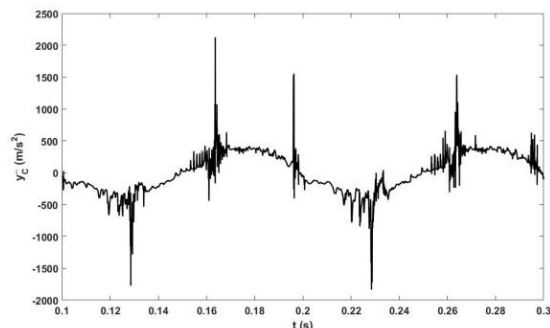


(ج)

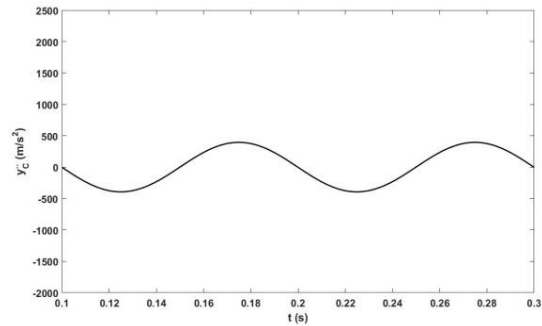
شکل «۱۱»: مقایسه شتاب راستای X مرکز جرم مجری نهایی در لقی‌های مختلف: (الف) CI=1 mm (ب) CI=0.5 mm (ج) CI=0.00001 mm (د) حالت ایده‌آل



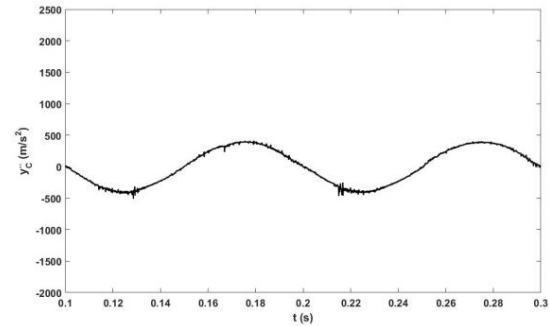
(ب)



(الف)

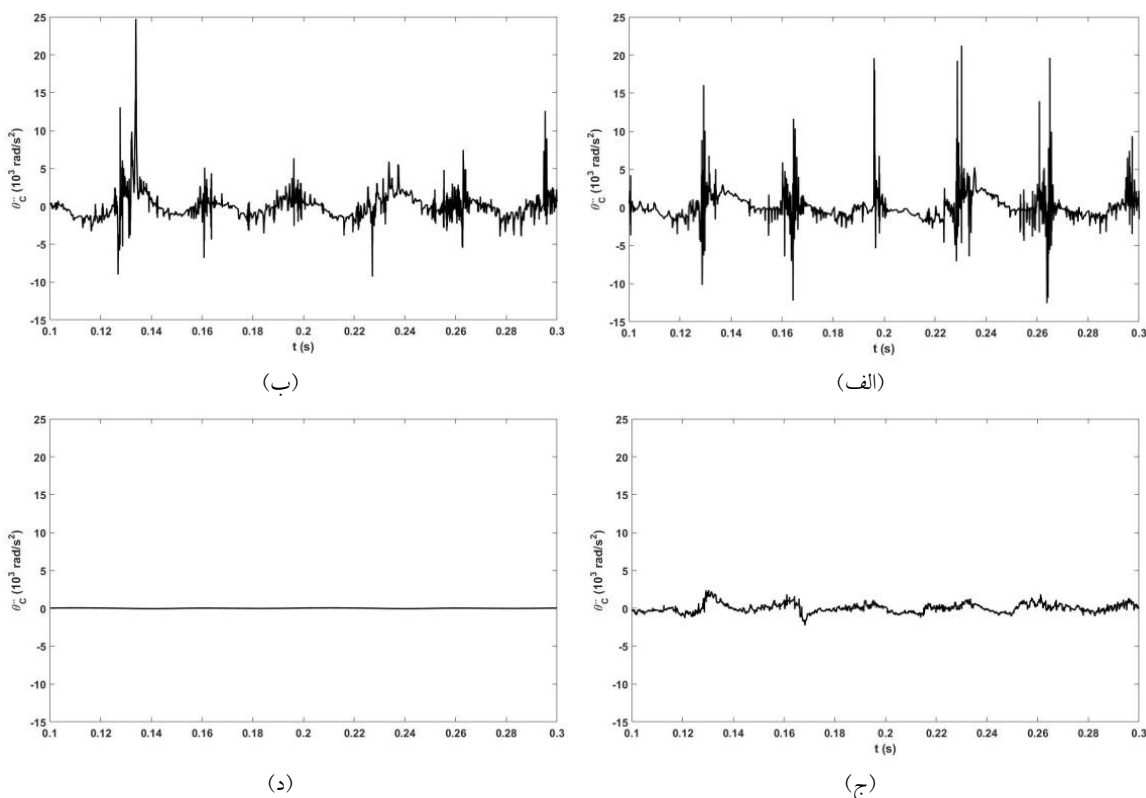


(د)



(ج)

شکل «۱۲»: مقایسه شتاب راستای Y مرکز جرم مجری نهایی در لقی‌های مختلف: (الف) CI=1 mm (ب) CI=0.5 mm (ج) CI=0.00001 mm (د) حالت ایده‌آل

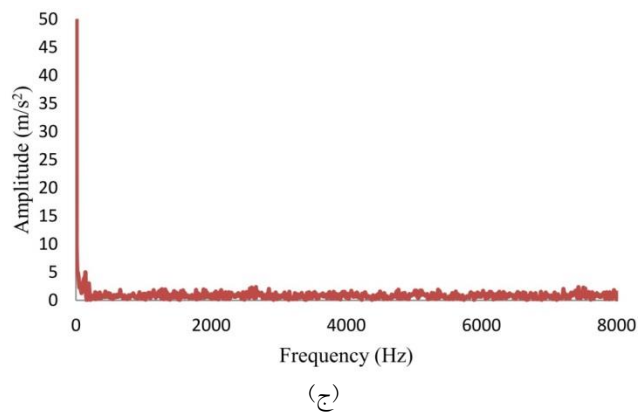
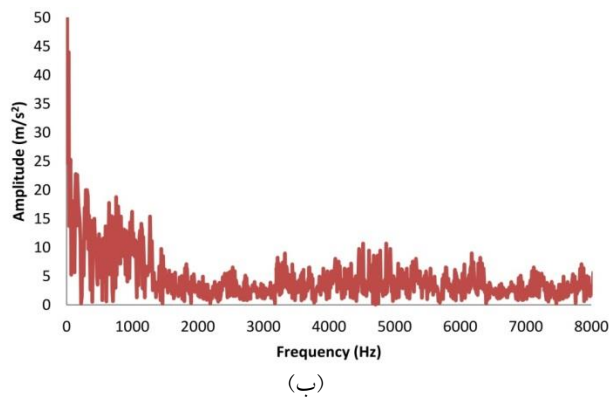
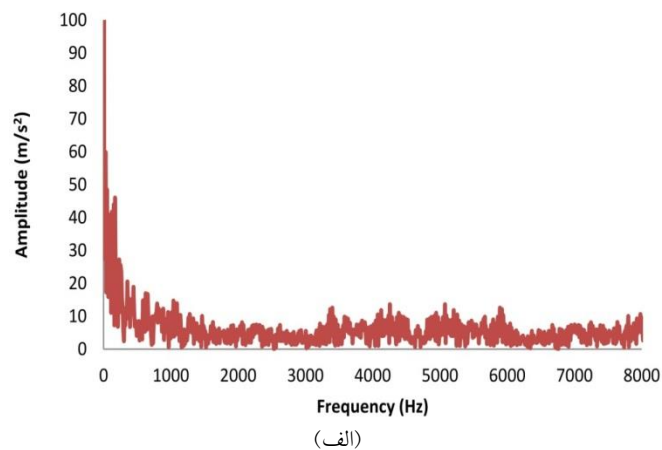


شکل «۱۳»: مقایسه سرعت زاویه‌ای مجری نهایی در لقی‌های مختلف: (الف) $Cl=1\text{ mm}$ (ب) $Cl=0.5\text{ mm}$ (ج) $Cl=0.00001\text{ mm}$ (د) حالت ایده‌آل

تحلیل فرکانسی با استفاده از روش FFT

تبدیل فوریه سریع (Fast Fourier Transform) یا FFT یکی از مهم‌ترین الگوریتم‌های مورد استفاده در پردازش سیگنال و آنالیز داده‌ها در یک سیستم ارتعاشی است و برای تعیین فرکانس‌های غالب یک سیگنال ارتعاشی به کار گرفته می‌شود [31, 32]. در مورد اثرات لقی مفصل نیز اکثر تحلیل‌های دینامیکی انجام شده در حوزه زمان است [8-16, 28-30]. بنابراین، به دلیل تمرکز کمتر روی تجزیه و تحلیل در حوزه فرکانس در سیستم‌های دارای لقی مفصل، در این بخش از FFT برای مطالعه این اثرات استفاده می‌شود. از آنجاکه وجود لقی در مفصل باعث ایجاد تغییرات با فرکانس بالا در شتاب اعضا می‌شود، از سیگنال شتاب مجری نهایی برای تحلیل حوزه فرکانسی و استخراج ویژگی‌های ارتعاشی سیستم استفاده می‌شود.

نتایج آنالیز FFT برای اندازه‌گیری‌های مختلف در شکل (۱۴) ارائه شده است. این نمودارها نشان می‌دهند که بیشینه دامنه نوسان، که برای هر سه نمودار در محدوده بین ۱۴۰ تا ۱۶۰ هرتز است، با افزایش اندازه لقی افزایش می‌یابد. همان‌طور که در شکل (۱۴-الف) مشخص است، در اندازه لقی $Cl=0.00001\text{ mm}$ ، بیشینه دامنه در حوالی ۱۴۰ هرتز قرار دارد و قلّه دیگری در این نمودار مشاهده نمی‌شود. با افزایش اندازه لقی در شکل‌های (۱۴-ب و ج)، علاوه بر وجود مقدار ماکزیمم دامنه در حوالی فرکانس ۱۴۰ هرتز، قلّه‌های دیگری نیز تا فرکانس ۱۶۰ هرتز مشاهده می‌شوند. این امر بیانگر این واقعیت است که با افزایش اندازه لقی، هرچند مقادیر بیشینه شتاب‌ها و نیروها در مکانیزم افزایش می‌یابند، اما نوسانات سیستم کاهش می‌یابد. به عبارت دیگر، در اندازه‌گیری‌های بالاتر مد تماسی در بازه‌های زمانی بیشتری رخ می‌دهد.



شکل «۱۴»: نتایج آنالیز FFT بردار شتاب در اندازه‌های لقی مختلف: (الف) لقی $C=1\text{ mm}$ (ب) لقی $C=0.5\text{ mm}$ (ج) لقی $C=0.00001\text{ mm}$

نتیجه‌گیری

در این مقاله به بررسی اثرات لقی مفاصل لولایی در سینماتیک حرکت ربات صفحه‌ای موازی ربات موازی

صفحه‌ای 3RPR پرداخته شده است. ربات موازی در نرم‌افزار تحلیل دینامیکی آدامز مدل‌سازی و شبیه‌سازی شده است. نتایج حاصل شده بیانگر قابل‌اعتماد بودن مدل نرم‌افزاری در تحلیل دینامیکی است. نتایج

Fast Fourier Transform	تبدیل سریع فوریه	شبيه‌سازی برای دو حالت ایده‌آل (بدون لقی) و حالت
Displacement	جابجایی	واقعی (با لقی) با هم مقایسه شده‌اند. نشان داده شده
Dynamic	دینامیک	است که در صورت وجود لقی در مفاصل لولایی
Parallel Robot	ربات موازی	مقادیر سرعت و شتاب مجری نهایی (و دیگر اعضا)
Velocity	سرعت	نسبت به حالت ایده‌آل افزایش می‌یابند. با افزایش
Kinematic	سینماتیک	اندازه لقی، اثرات نامطلوب که شامل خطای مسیر و
Acceleration	شتاب	افزایش ناگهانی شتاب‌ها است بیشتر می‌شود. همچنین
Bezout number	عدد بزوت	وجود لقی، خطای ردگیری مسیر را نیز در پی خواهد
Clearance	لقی	داشت. انحراف دوران مجری نهایی در این حالت
End-Effector	مجری نهایی	می‌تواند قابل توجه باشد. در نتیجه، باید با استفاده از
Reynolds' Equation	معادله رینولدز	روش‌هایی مانند بهینه‌سازی جرمی و یا استفاده از
Revolute Joint	مفصل لولایی	روش‌های کنترلی برای کاهش این اثرات نامطلوب
Mechanism	مکانیزم	تلاش کرد.
Damping	میرایی	
Newton-Raphson	نیوتون-رافسون	واژه‌نامه
Homotopy Continuation	هوموتوبی - کانتینوایشن	ADAMS Coulomb's Friction
		آدامز اصطکاک کولمب

مراجع

1. Kolhatkar, S.A. and Yajnik, K.S., "The effects of play in the joints of a function-generating mechanism", *Journal of Mechanisms*, Vol. 5, pp. 521-632, (1970).
2. Dubowsky, S. and Freudenstein, F., "Dynamic analysis of mechanical systems with clearances, part 1: formulation of dynamic model", *Journal of Engineering for Industry*, 93(1), pp. 305-309, (1971).
3. Dubowsky, S. and Freudenstein, F., "Dynamic analysis of mechanical systems with clearances, part 2: dynamic response", *Journal of Engineering for Industry*, 93(1), pp. 310-316, (1971).
4. Earles, S.W.E. and Wu, C.L.S., "Motion analysis of a rigid link mechanism with clearance at a bearing using lagrangian mechanics and digital computation", *Mechanisms*, pp. 83-89, (1973).
5. Lankarani, H.M. and Nikravesh, P.E., "A contact force model with hysteresis damping for impact analysis of multibody systems", *Journal of Mechanical Design*, Vol. 112, pp. 369-376, (1990).
6. Hertz H., "On the contact of solids, 1881, On the contact of rigid elastic solids and on hardness, 1882", Translated by D.E. Jones, G.A. Schott, Miscellaneous Papers, MacMillan and Co. Ltd., London, pp. 146-183, (1896).
7. Flores, P. and Ambrosio J., "Revolute Joints with Clearance in Multibody Systems", *Journal of Computers & Structures*, Vol. 82, pp. 1359-1369, (2004).
8. Flores, P., Ambrosio, J. and Claro, J.P., "Dynamic Analysis for Planar Multibody Mechanical

- Systems with Lubricated Joints", *Multibody System Dynamics*, Vol. 12, pp. 47–74, (2004).
9. Flores, P., Ambrosio, J., Claro, J.C.P., Lankarani, H.M. and Koshy, C.S., "A Study on Dynamics of Mechanical Systems Including Joints with Clearance and Lubrication", *Mechanism and Machine Theory*, Vol. 41, pp. 247–261, (2006).
 10. Schwab, A.L., Meijaard, J.P. and Meijers, P., "A Comparison of Revolute Joint Clearance Models in the Dynamic Analysis of Rigid and Elastic Mechanical Systems", *Mechanism and Machine Theory*, Vol. 37, pp. 895–913, (2002).
 11. Tian, Q., Zhang, Y., Chen, L. and Flores, P., "Dynamics of Spatial Flexible Multibody Systems with Clearance and Lubricated Spherical Joints", *Journal of Composite Structures*, Vol. 87, pp. 913–929, (2009).
 12. Olyaei A.A. and Ghazavi M.R., "Stabilizing slider-crank mechanism with clearance joints", *Mechanism and Machine Theory*, Vol. 53, pp. 17–29, (2012).
 13. Erkaya S. and Uzmay İ., "Experimental investigation of joint clearance effects on the dynamics of a slider-crank mechanism", *Multibody System Dynamics*, Vol. 24, pp. 81–102, (2010).
 14. Erkaya S., "Prediction of vibration characteristics of a planar mechanism having imperfect joints using neural network", *Journal of Mechanical Science and Technology*, Vol. 26 (5), pp. 1419-1430, (2012).
 15. Varedi, S.M., Daniali, H.M., Dardel, M. and Fathi, A., "Optimal dynamic design of a planar slider-crank mechanism with a joint clearance", *Mechanism and Machine Theory*, Vol. 86, pp. 191–200, (2015).
 16. Varedi, S.M., Daniali, H.M. and Dardel, M., "Dynamic synthesis of a planar slider–crank mechanism with clearances", *Nonlinear Dynamics*, Vol. 79, pp. 1587–1600, (2015).
 17. Flores, P., Ambrosio J., Claro, J.C.P. and Lankarani, H.M., Spatial revolute joints with clearance for dynamic analysis of multibody systems, Proc. Inst. Mech. Eng., Part-K: *Journal of Multi-body Dynamics*, 220(4), 257–271, (2006).
 18. Tian, Q., Sun, Y., Liu, C., Hu, H. and Flores, P., "Elasto–hydrodynamic lubricated cylindrical joints for rigidflexible multibody dynamics", *Computers & Structures*, 114–115, 106–120, (2013).
 19. Farajtabar M., Daniali H.M. and Varedi S.M., Pick and place trajectory planning of planar 3-RRR parallel manipulator in the presence of joint clearance, *Robotica*, (2015).
 20. Varedi S. M., Daniali H.M. and Farajtabar M., "The effects of joint clearance on the dynamics of the 3RRR planar parallel manipulator", *Robotica*, (2016).
 21. Bamdad, M. and Faroghi, S., "Stability measure for a parallel cable driven robot", *Modares Mechanical Engineering*, (2013).
 22. Caro, S., Binaud, N. and Wenger, P., "Sensitivity analysis of 3-RPR planar parallel manipulators", *Journal of Mechanical Design, American Society of Mechanical Engineers*, Vol. 131, pp. 121005-1–121005-13, (2009).
 23. Varedi, S.M., Daniali, H. and Ganji, D., "Kinematics of an offset 3-UPU translational parallel manipulator by the homotopy continuation method", *Nonlinear Analysis: Real World Applications*, 10(3), pp. 1767–1774, (2009).
 24. Merlet, J.P., "Algebraic-Geometry Tools for the Study of Kinematics of Parallel Manipulators", *Computational Kinematics*, pp. 183-194, (1993).
 25. Sadjadian, H. and Taghirad, H.D., "Comparison of Different Methods for Computing the Forward Kinematics of a Redundant Parallel Manipulator", *Journal of Intelligent and Robotic Systems*, 44(3),

- pp. 225-246, (2005).
26. Korayem, M.H., Najafi, K. and Bamdad, M., "Synthesis of Cable Driven Robots Dynamic Motion with Maximum Load Carrying Capacities: Iterative Linear Programming Approach", *Scientia Iranica*, 17 (3B), pp. 229-239, (2010).
 27. Korayem, M.H., Bamdad, M. and Akbareh, A., "Trajectory optimization of cable parallel manipulators in point-to-point motion", *Journal of Industrial Engineering*, Vol. 5, pp. 29-34, (2010).
 28. Zhao, Y, Bai, Z.F., "Dynamics analysis of space robot manipulator with joint clearance", *Acta Astronautica*, 68(7), pp. 1147-55, (2011).
 29. Tian, Q, Zhang, Y, Chen, L. and Flores, P., "Dynamics of spatial flexible multibody systems with clearance and lubricated spherical joints", *Computers & Structures*, 87(13), pp. 913-29, (2009).
 30. Khemili, I. and Romdhane, L., "Dynamic analysis of a flexible slider-crank mechanism with clearance", *European Journal of Mechanics A/Solids*, Vol. 27, pp. 882-898, (2008).
 31. Farokhzad, S., "Vibration Based Fault Detection of Centrifugal Pump by Fast Fourier Transform and Adaptive Neuro-Fuzzy Inference System", *Journal of Mechanical Engineering and Technology*, Vol. 1 (3), pp. 82-87, (2013).
 32. Lin, H.C., Ye, Y.C., Huang, B.J. and Su, J.L., "Bearing vibration detection and analysis using enhanced fast Fourier transform algorithm", *Advances in Mechanical Engineering*, Vol. 8(10), pp. 1-14, (2016).